



10º Encontro Nacional de Cromatografia

Bragança 2017 – 4 a 6 de dezembro

Abstracts book / Livro de resumos



SOCIEDADE PORTUGUESA DE QUÍMICA



INSTITUTO POLITÉCNICO DE BRAGANÇA Centro de Investigação de Montanha

COM O ALTO PATROCÍNIO DE SUA EXCELÊNCIA



O Presidente da República

Title

10th Chromatography Meeting

Título

10º Encontro de Cromatografia

Authors / Autores

António M. Peres (Instituto Politécnico de Bragança, Portugal)

Lillian Barros (Instituto Politécnico de Bragança, Portugal)

Luís G. Dias (Instituto Politécnico de Bragança, Portugal)

Isabel C.F.R. Ferreira (Instituto Politécnico de Bragança, Portugal)

Edition / Edição

Instituto Politécnico de Bragança · 2017

5300-253 Bragança · Portugal

Tel. (+351) 273 303 200 · Fax (+351) 273 325 405

<http://www.ipb.pt>

Imaging services / Serviços de imagem

Atilano Suarez (Instituto Politécnico de Bragança, Portugal)

URL

<http://hdl.handle.net/10198/8896>

ISBN

978-972-745-234-7



Organizing committee / Comissão Organizadora

Isabel C.F.R. Ferreira (Instituto Politécnico de Bragança)

José Manuel F. Nogueira (Faculdade de Ciências, Universidade de Lisboa)

Anabela Martins (Instituto Politécnico de Bragança)

António Peres (Instituto Politécnico de Bragança)

Cidália Lino (Instituto Politécnico de Bragança)

Helder Gomes (Instituto Politécnico de Bragança)

Joana Amaral (Instituto Politécnico de Bragança)

João Barreira (Instituto Politécnico de Bragança)

Jorge Sá Morais (Instituto Politécnico de Bragança)

Lillian Barros (Instituto Politécnico de Bragança)

Luís Dias (Instituto Politécnico de Bragança)

Luís Pais (Instituto Politécnico de Bragança)

M. Filomena Barreiro (Instituto Politécnico de Bragança)

Miguel Vilas Boas (Instituto Politécnico de Bragança)

Sandrina A. Heleno (Instituto Politécnico de Bragança)

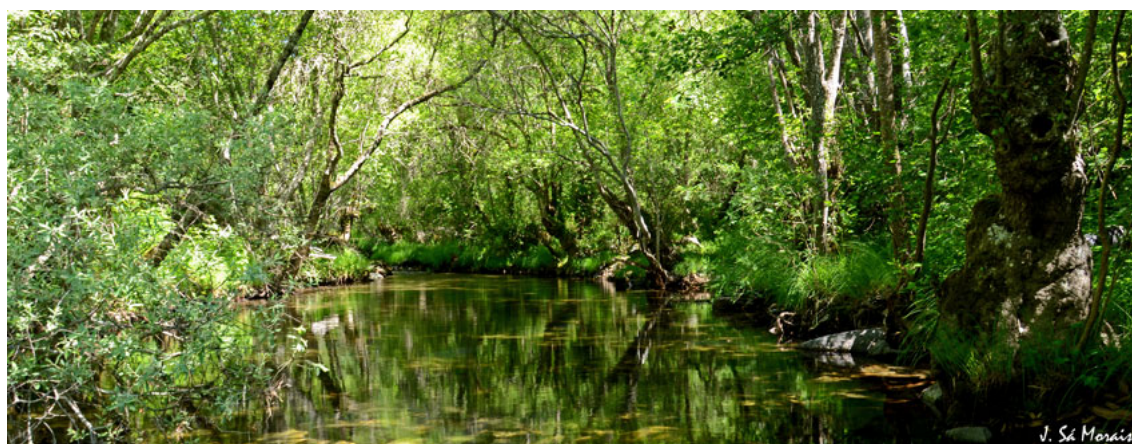
Cristina Campos (Secretariado - Sociedade Portuguesa de Química)

Leonardo Mendes (Secretariado - Sociedade Portuguesa de Química)



Scientific committee / Comissão Científica

Alírio Rodrigues (Universidade do Porto)
Ana Costa Freitas (Universidade de Évora)
Anabela Romano (Universidade do Algarve)
Armando Venâncio (Universidade do Minho)
Carlos Cavaleiro (Universidade de Coimbra)
Cristina Delerue Matos (Instituto Politécnico do Porto)
Elisabete Lima (Universidade dos Açores)
Fernando Nunes (Universidade de Trás-os-Montes)
Helena Soares Costa (Instituto Nacional de Saúde Dr. Ricardo Jorge)
Isabel C.F.R. Ferreira (Instituto Politécnico de Bragança)
Ivonne Delgadillo (Universidade de Aveiro)
João Carlos Marcos (Universidade do Minho)
João Queiroz (Universidade da Beira Interior)
José António Rodrigues (Universidade do Porto)
José Câmara (Universidade da Madeira)
José Manuel F. Nogueira (Universidade de Lisboa)
M. Beatriz Oliveira (Universidade do Porto)
Manuel António Coimbra (Universidade de Aveiro)
Manuela Pintado (Universidade Católica)
Marcela Segundo (Universidade do Porto)
Marco Gomes da Silva (Universidade Nova de Lisboa)
Maria Rosário Bronze (Universidade de Lisboa)
Nuno Mateus (Universidade do Porto)
Raquel Aires Barros (Universidade de Lisboa)
Sílvia M. Rocha (Universidade de Aveiro)



OC-38		
Oncolytic virus purification using multi-column chromatography		55
<i>João Mendes, Ricardo J.S. Silva, Cristina Peixoto, Paula M. Alves, Manuel J.T. Carrondo</i>		
OC-39		
Effects of e-beam irradiation on bioactive content of cherry tomatoes		56
<i>Joana Madureira, Maria Cojocar, Silvia Garofalide, Pedro M.P. Santos, Fernanda M.A. Margaça, Sandra Cabo Verde</i>		
OC-40		
Otimização da extração de antocianinas de cereja madura através da metodologia de superfície de resposta		57
<i>Carla Pereira, Lillian Barros, Miguel A. Prieto, Isabel C.F.R. Ferreira</i>		
OC-41		
Efeito da radiação gama e feixe de eletrões na concentração de ergosterol em <i>Agaricus bisporus</i> (J.E. Lange) Imbach		58
<i>Ângela Fernandes, Rossana V.C. Cardoso, Amílcar L. Antonio, Sandra Cabo Verde, Lillian Barrosa, Isabel C.F.R. Ferreira</i>		
OC-42		
Optimization of the extraction of triterpenes from <i>Ganoderma lucidum</i>		59
<i>Oludemi Taofiq, Lillian Barros, Miguel A. Prieto, Maria Filomena Barreiro, Isabel C.F.R. Ferreira</i>		
OC-43		
Unveiling the chemical composition of willow added-value lipophilic extractives by gas chromatography-mass spectrometry		60
<i>Patrícia A.B. Ramos, Sónia A.O. Santos, Carmen S.R. Freire, Artur M.S. Silva, Armando J.D. Silvestre</i>		
OC-44		
Application of anti-hail net in apple orchards: effects on fruits chemical characteristics		61
<i>Carlos Martins-Gomes, Luís Pinto, Ermelinda Silva, Sandra Martins, Alexandre Gonçalves, Cátia Brito, José Moutinho-Pereira, M.A. Rodrigues, Carlos M. Correia, Fernando Nunes</i>		
OC-45		
Characterization of the volatile composition of encapsuled coffee		62
<i>Davide Mendes, Pedro Lisboa, Pedro Simões, Eduardo Mateus, Marco Gomes da Silva</i>		
OC-46		
Increased productivity in impurity profile characterization of innovative pharmaceuticals		63
<i>João Pereira, Antonio Serodio, Cátia Sousa</i>		
OC-47		
Characterization of phospholipids, including plasmalogens, in bivalves of the Portuguese coast using solid-phase extraction followed by gas-liquid chromatography		64
<i>Vera Faneca, Susana P. Alves, Rui J.B. Bessa</i>		
OC-48		
Characterization and Identification of Four Essential Oils by GC-MS		65
<i>Mariana Oliveira, Carlos Borges, Ana Patrícia Marques</i>		

PC - Panel communications / Comunicações em painel

PC1		
Optimization of an HPLC analysis to study the interactions between a <i>Saccharomyces cerevisiae</i> protein-rich extract and wine procyanidins		68
<i>Abigail F. Ferreira, Telmo Francisco, Rosa Pérez-Gregorio, Susana Soares, Nuno Mateus, Victor de Freitas</i>		
PC2		
Phenolic compounds from <i>Annona muricata</i> L.: HPLC-DAD analysis of the aqueous extract and nanoformulations		69
<i>Clara Grosso, Simona Mancini, Luca Nardo, Maria Gregori, João Bernardo, Inês Ribeiro, Francesco Mantegazza, Massimo Masserini, Cristina Delerue-Matos</i>		

PC3	Fatty acid profile of seaweeds from the North Portuguese Coast	70
	<i>Sara Sousa, Susana Machado, Cristina Soares, Elsa Vieira, Valentina F. Domingues, Ana P. Carvalho, Manuela Correia, M. João Ramalhosa, Teresa Oliva-Teles, Simone Morais, Cristina Delerue-Matos</i>	
PC4	GC-MS identification of oligosaccharides produced by nonenzymatic transglycosylation reactions	71
	<i>Soraia P. Silva, Ana S.P. Moreira, M. Rosário M. Domingues, Dmitry V. Evtugin, Elisabete Coelho, Manuel A. Coimbra</i>	
PC5	Chemical characterization of three <i>Thymus</i> species: <i>T. herba-barona</i>, <i>T. pseudolanuginosus</i> and <i>T. caespititius</i>	72
	<i>Andrea F. Afonso, Olívia R. Pereira, Artur M.S. Silva, Susana M. Cardoso</i>	
PC6	Phytochemicals of <i>Salvia africana</i> and <i>Salvia elegans</i> and <i>Salvia officinalis</i> 'Icterina'	73
	<i>Andrea F. Afonso, Olívia R. Pereira, Artur M.S. Silva, Susana M. Cardoso</i>	
PC7	Applying an API HPLC Related Substances Monograph Method to an Inhalation Drug Product	74
	<i>Andreia Costa, Rúben Chaves, Sofia Silva</i>	
PC8	Perfil cromatográfico em ácidos gordos de seis génotipos de <i>Portulaca olerace</i> L.: uma fonte alternativa de ómega-3	75
	<i>Ângela Fernandes, Spyridon A. Petropoulos, Anestis Karkanis, Lillian Barros, Georgia Ntatsi, Konstantinos Petrotos, Christos Lykas, Ebrahim Khah, Isabel C.F.R. Ferreira</i>	
PC9	Fatty acids profile contribution for the discrimination of olive oil production year	76
	<i>Nuno Rodrigues, Susana Casal, António M. Peres, José A. Pereira</i>	
PC10	Monitoring fructooligosaccharides production using <i>Aspergillus aculeatus</i> by HPLC-ELSD	77
	<i>Aelina Lama, Sara Silvério, Ana C.A. Veloso, Lígia R. Rodrigues, Teresa Dias, António M. Peres</i>	
PC11	Selection of SPME fiber for the identification of the pheromone rhynchophorol by GC/MS	78
	<i>Arão C. Viana, Ingrid G. Ramos, Ananda M. Carvalho, Edeilza L. dos Santos, Janice I. Druzian</i>	
PC12	Similaridade da farinha da casca do maracujá amarelo (<i>Passiflora edulis flavicarpa</i>) com pectina e ácido galacturônico comerciais por CLAE/IR	79
	<i>Emanuela M. Coelho, Arão C. Viana, Luciana C. de Azevedo, Janice I. Druzian</i>	
PC13	Optimization of an analytical method for the determination of underivatized triclosan and related compounds by gas chromatography-triple quadrupole mass spectrometry	80
	<i>Cátia Magro, Davide Mendes, Marco Silva, Alexandra Ribeiro, Eduardo Mateus</i>	
PC14	Development and validation of an HPLC method for quantification of the biocide Ecomea®	81
	<i>Cátia Vilas-Boas, Sara Cravo, Emília Sousa, Madalena Pinto, Marta Correia-da-Silva</i>	
PC15	Efeito do processamento no perfil lipídico do feijão mangalô (<i>Phaseolus lunatus</i>) germinado	82
	<i>Clícia M.J. Benevides, Sónia Soares, Maria A. Nunes, Rita C. Alves, Maria Beatriz P.P. Oliveira</i>	
PC16	Vitamin E profile of green (<i>in natura</i>) seeds from different species of legumes	83
	<i>Cátia Araújo, Rita C. Alves, Sílvia Bessada, Anabela S.G. Costa, Clícia M.J. Benevides, Graça Soveral, M. Beatriz P.P. Oliveira</i>	
PC17	RP-HPLC analysis of 21 amino acids in edible seaweeds from the Portuguese coast after OPA/FMOC derivatization	84
	<i>Cristina Soares, Elsa Vieira, Susana Machado, Manuela Correia, M. João Ramalhosa, Valentina F. Domingues, Ana P. Carvalho, Teresa Oliva-Teles, Simone Morais, Cristina Delerue-Matos</i>	
PC18	Ion source-MS parameters optimization for pharmaceuticals compounds	85
	<i>Paula Paíga, Luís M.S. Silva, Cristina Delerue-Matos</i>	

PC19	Perfil cromatográfico de ácidos gordos e açúcares em <i>cupcakes</i> funcionalizados com um extrato rico em ácido rosmarínico	86
	<i>Cristina Caleja, Lillian Barros, João C.M. Barreira, Ana Ciric, Marina Sokovic, Ricardo C. Calhelha, M. Beatriz P.P. Oliveira, Isabel C.F.R. Ferreira</i>	
PC20	Monitorização cromatográfica de um extrato de <i>Melissa officinalis</i> L. obtido com diferentes técnicas	87
	<i>Cristina Caleja, Lillian Barros, Miguel A. Prieto, Maria Filomena Barreiro, M. Beatriz P.P. Oliveira, Isabel C.F.R. Ferreira</i>	
PC21	Biogenic amine formation during smoking process of traditional Portuguese meat sausages <i>chouriças</i> and <i>alheiras</i>	88
	<i>Daniel O. Carvalho, Cláudia Sousa, Luís F. Guido</i>	
PC22	No dilute” just shoot LC-ESI-MS/MS : feasibility and robustness of a maintenance-free source and interface for applications in low level pesticide residue analysis	89
	<i>Daniel Rocha</i>	
PC23	Development and application of a fast HPLC method for dissolution evaluation of amorphous pharmaceuticals materials	90
	<i>Luísa Pena, Daniela Almeida, Pedro Serodio</i>	
PC24	The effect of storage in HMF of Portuguese honey samples: a 4-year study	91
	<i>Sónia Soares, Diana Pinto, Rita C. Alves, Francisca Rodrigues, M. Beatriz P.P. Oliveira</i>	
PC25	Dairy products fortified with <i>Pleurotus ostreatus</i> beta-glucans	92
	<i>Ekaterina Antontceva, Sergei Sorokin, Mark Shamtsyan</i>	
PC26	Efeitos de radiação ionizante no perfil fenólico de <i>Melissa officinalis</i> L. e de <i>Melittis melissophyllum</i> L.	93
	<i>Eliana Pereira, Amílcar Antonio, João C.M. Barreira, Celestino Santos-Buelga, Lillian Barros, Isabel C.F.R. Ferreira</i>	
PC27	Influência da origem geográfica no perfil fenólico de <i>Lavandula pedunculata</i> (Mill.) Cav	94
	<i>Catarina L. Lopes, Eliana Pereira, Ana Maria Carvalho, Ana Maria Barata, Violeta Lopes, Filomena Rocha, Lillian Barros, Isabel C.F.R. Ferreira</i>	
PC28	Optimization of the method for determining the residual amounts of florasulam in crops by HPLC	95
	<i>Elisey Yu. Alekseev, Taisiya D. Cheremskaya, Larisa M. Karpova</i>	
PC29	Caracterização fenólica da casca do fruto <i>Ficus carica</i> L. por LC-DAD-ESI/MS	96
	<i>Emanueli Backes, Carla Pereira, Maria Gabriela Leichtweis, Lillian Barros, Aziza Kamal Genena, Maria Filomena Barreiro, Isabel C.F.R. Ferreira</i>	
PC30	Determinação de antocianinas no epicarpo de frutos de <i>Prunus spinosa</i> L.	97
	<i>Maria Gabriela Leichtweis, Carla Pereira, Emanueli Backes, Ana Maria Carvalho, Ilton J. Baraldi, Lillian Barros, Isabel C.F.R. Ferreira</i>	
PC31	Biodiesel production through esterification using ionic liquids as catalysts	98
	<i>Arevik Tadevosyan, Fernanda Fontana Roman, Ana Queiroz, António Ribeiro, Paulo Brito</i>	
PC32	Efeito do teor de etanol na composição de compostos fenólicos extraídos da casca de sementes de pinhão	99
	<i>Carlos Henrique Koslinski Santos, Maria Inês Dias, Lillian Barros, Michel Rocha Baqueta, Aline Coqueiro, Maria Filomena Barreiro, Odinei Hess Gonçalves, Evandro Bona, Marcos Vieira da Silva, Isabel C.F.R. Ferreira, Fernanda Vitoria Leimann</i>	

PC33	Perfis cromatográficos de açúcares livres e ácidos gordos em amostras de iogurtes aditivadas com o corante natural curcumina	100
	<i>Heloísa Helena Scorsato de Almeida, Custódio Lobo Roriz, Lillian Barros, João C.M. Barreira, Fernanda Vitória Leimann, Maria Filomena Barreiro, Isabel C.F.R. Ferreira</i>	
PC34	Influence of roasting on the amino acid profile of defatted almond flour	101
	<i>Filipa B. Pimentel, Anabela S.G. Costa, Rita C. Alves, Adrián Rabadán, Manuel Álvarez-Ortí, M. Beatriz P.P. Oliveira</i>	
PC35	<i>Gracilaria vermiculophylla</i> : effect of preservation methods on the fatty acids profile	102
	<i>Filipa B. Pimentel, Maria A. Nunes, Anabela S.G. Costa, Rita C. Alves, M. Beatriz P.P. Oliveira</i>	
PC36	Wild mushrooms as a possible source of nutraceuticals – Use of chromatographic techniques to obtain the species chemical profile	103
	<i>Filipa S. Reis, Anabela Martins, Lillian Barros, M. Helena Vasconcelos, Patricia Morales, Isabel C.F.R. Ferreira</i>	
PC37	Olive oil volatile organic compounds: Single column vs. coupled columns for GC/MS identification purposes	104
	<i>Flávia Freitas, Davide Mendes, Luis Batista, Eduardo Mateus, Marco Gomes da Silva</i>	
PC38	Ultrahigh-Pressure Liquid Chromatography with fluorescent detection (UPLC-FLD) method for the identification of anthocyanins from Purple Sweet Potato	105
	<i>Hélder Oliveira, Iva Fernandes, Victor de Freitas, Nuno Mateus</i>	
PC39	Is thermal treatment a concern for the nutritional quality of flaxseed, chia and sunflower seeds?	106
	<i>Tânia Gonçalves Albuquerque, Mafalda Alexandra Silva, M. Beatriz P.P. Oliveira, Helena S. Costa</i>	
PC40	Phenolic profile obtained by HPLC-DAD-ESI/MS and <i>in vitro</i> bioactivities of <i>Equisetum giganteum</i> L. and <i>Tilia platyphyllos</i> Scop.	107
	<i>Inês Jabeur, Natália Martins, Lillian Barros, Ricardo C. Calhelha, Josiana Vaz, Lotfi Achour, Celestino Santos-Buelga, Isabel C.F.R. Ferreira</i>	
PC41	Profiling the volatile fraction of ruminal content from Holstein dry-cows fed different diets	108
	<i>Inês M. Valente, Margarida R.G. Maia, Antonia M. Carro, Rosa A. Lorenzo, António J.M. Fonseca, Ana Rita J.B. Cabrita, José A. Rodrigues</i>	
PC42	The impact of pH on the impurity profile of a model drug	109
	<i>Inês F.S.Silva, Maria C. Paisana</i>	
PC43	In-Tube SPME-MS/MS with hybrid silica monolith as sorbent phase to determine amino acids and neurotransmitters in plasma samples	110
	<i>Luis Felipe Cabral Miranda, Israel Donizeti de Souza, Maria Eugênia Costa Queiroz</i>	
PC44	Design and optimization of a simulated moving bed unit for the separation of betulinic, oleanolic and ursolic acids mixtures: experimental and modeling studies	111
	<i>Ivo S. Azenha, José P.S. Aniceto, Fernando M.J. Domingues, Adélio Mendes, Carlos M. Silva</i>	
PC45	Chromatographic measurement of eucalyptol diffusivities in compressed fluids	112
	<i>Bruno Zêzere, Ivo S. Azenha, Ana Magalhães, Adélio Mendes, Carlos M. Silva</i>	
PC46	A rapid UPLC method development for <i>in vitro</i> dissolution of supersaturation drug delivery systems	113
	<i>António Serôdio, Jessica F. P. Ramos, Inês Almeida, Pedro Serôdio, Silvia Santos</i>	
PC47	Avaliação da composição em ácidos gordos de folhas de urtiga (<i>Urtica dioica</i>)	114
	<i>Jacqueline Silva, Ailey Ap. C Tanamati, Joana S. Amaral</i>	

PC48	Preparation of a new chiral stationary phase for liquid chromatography based on a small molecule	115
	<i>João Ribeiro, Carla Fernandes, Maria Elizabeth Tiritan, Artur M.S. Silva, Madalena M.M. Pinto</i>	
PC49	Liquid chromatography enantioseparation of xanthone derivatives on a human serum albumin stationary phase	116
	<i>João P. do Carmo, Carla Fernandes, Maria Elizabeth Tiritan, Carlos Afonso, Madalena M.M. Pinto</i>	
PC50	Caracterização do perfil carbonílico em cafés por GDME-HPLC-DAD-MS/MS para correlação com diferentes parâmetros de qualidade	117
	<i>Liliana Cordeiro, Inês M. Valente, João Rodrigo Santos, José A. Rodrigues</i>	
PC51	Establishment and differentiation of the volatonic composition of juice and peel from Tahiti lime (<i>Citrus × latifolia</i>) based on HS-SPME/GC-qMS analysis	118
	<i>José A. Figueira, Priscilla Porto-Figueira, Jorge Pereira, José S. Câmara</i>	
PC52	Coupling HPLC and GC-FID for the monitorization of oxidized intermediates from wet peroxide biphasic oxidation	119
	<i>Jose L. Diaz de Tuesta, Joana S. Amaral, Adrián M.T. Silva, Joaquim L. Faria, Helder T. Gomes</i>	
PC53	Fingerprint targeted compounds for use in authenticity of sugarcane honey – an approach based on chromatographic and statistical data	120
	<i>Pedro Silva, Fernando M. Nunes, Jose S. Camara</i>	
PC54	Caracterização química de uma coleção de germoplasma de variedades tradicionais de tomate com recurso a diferentes técnicas cromatográficas	121
	<i>César Montoya, José Pinela, Lillian Barros, Ana Maria Carvalho, Filomena Rocha, Ana Maria Barata, Isabel C.F.R. Ferreira</i>	
PC55	Assessment of biogenic amines profile in biological samples from Holstein dry-cows	122
	<i>Liliana Cordeiro, Inês Maria Valente, Margarida R.G. Maia, António J.M. Fonseca, Ana Rita J.B. Cabrita, José António Rodrigues</i>	
PC56	The effects of starter culture on the biogenic amine accumulation in traditional Portuguese dry-sausages	123
	<i>Dmitriy Panov, Luís G. Dias, Ana Paula Pereira, António M. Peres, Leticia M. Estevinho, Teresa Dias</i>	
PC57	High-throughput method for the analysis of sterols in food samples by gas chromatography without previous fractionation steps	124
	<i>Luís M. Rodríguez-Alcalá, Lígia L. Pimentel, Manuela Pintado, Ana M. Gomes</i>	
PC58	Free fatty acids profiling in olive oil and olives from the Trás-os-Montes Portuguese region	125
	<i>Luís M. Rodríguez-Alcalá, Inês F. Correia, Lígia L. Pimentel, José A. Pereira, Ana M. Gomes, Manuela Pintado</i>	
PC59	Application of an HPLC method for the quality control of vitamin C content in foods for infants	126
	<i>Mafalda A. Silva, Tânia Gonçalves Albuquerque, M. Beatriz P.P. Oliveira, Helena S. Costa</i>	
PC60	Valorization of apple wood wastes from traditional and exotic Portuguese varieties: phenolic profile and antioxidant activity	127
	<i>Manuela M. Moreira, Braam Devos, M. Fátima Barroso, Raul Rodrigues, Annick Boeykens, Hannes Withouck, Simone Morais, Cristina Delerue-Matos</i>	
PC61	Comparison of different extraction solvents for characterization of phenolic compounds <i>Geranium robertianum</i> L. extracts	128
	<i>Marcelo D. Catarino, Micaela I. Jordão, Artur M.S. Silva, Susana M. Cardoso</i>	

PC62		
	Validação do método de aflatoxinas por cromatografia - HPLC	129
	<i>Cristiane L. Paloschi, Margaret S. Nardelli, Mariana Sbizzaro, Divair Christ, Fagner G. da Conceição, Danielle M. Rosa, Silvio C. Sampaio</i>	
PC63		
	Monovarietal olive pomaces: stability prediction based on fatty acid profile and oleic/linoleic ratio	130
	<i>Maria A. Nunes, Rita C. Alves, Francisca Rodrigues, Anabela S.G. Costa, Maria B.P.P. Oliveira</i>	
PC64		
	Influence of <i>Bactrocera oleae</i> infestation on the fatty acids profile of two Algerian olive cultivars: <i>Limli</i> and <i>Rougette de Metidja</i>	131
	<i>Lynda Medjkouh, Abderezak Tamendjari, Maria A. Nunes, Rita C. Alves, Maria B.P.P. Oliveira</i>	
PC65		
	Contribution of a liquid chromatographic method to evaluate if Portuguese vegetables are a good source of vitamin C?	132
	<i>Inês C. Santos, Tânia Gonçalves Albuquerque, Mafalda A. Silva, Helena S. Costa</i>	
PC66		
	Influência da temperatura de secagem nos compostos fenólicos e nas propriedades bioativas de folhas, caules e casca de <i>Croton urucurana</i> Bailly	133
	<i>Jáliston Júlio Lopes Alves, Maria Inês Dias, Lillian Barros, Ricardo C. Calhelha, Osvaldo Resende, Ana Carolina Ribeiro Aguiar, Isabel C.F.R. Ferreira</i>	
PC67		
	Volatile profile of different monovarietal olive oils by HS-SPME-GC/MS	134
	<i>Nuno Martins, Raquel Garcia, Marco Gomes da Silva, Maria João Cabrita</i>	
PC68		
	Assessment of volatile composition in amphora wines by HS-SPME-GC/MS	135
	<i>Raquel Garcia, Nuno Martins, Marco Gomes da Silva, Maria João Cabrita</i>	
PC69		
	Optimization of the extraction of phenolic compounds from walnut leaves using DES	136
	<i>Vanessa Vieira, Miguel A. Prieto, Lillian Barros, João A.P. Coutinho, Olga Ferreira, Isabel C.F.R. Ferreira</i>	
PC70		
	Óleo essencial de <i>Chenopodium ambrosioides</i> : perfil químico em CG/EM e influência na resposta imune em ratos infectados com <i>Trypanosoma cruzi</i>	137
	<i>Marley Garcia Silva, Cássia Mariana Bronzon da Costa, Fabrícia Helena Santelo, Míriam Paula Alonso Toldo, José Clóvis do Prado Júnior</i>	
PC71		
	Influence of storage conditions on polyphenolic, terpenoids and sensory profile from <i>Cymbopogon citratus</i> infusions	138
	<i>Marta Coelho, Célia Rocha, M.J. Pereira, Luís M. Cunha, L. Cardoso, L. Alves, R.C. Lima, Francisco M. Campos, Manuela Pintado</i>	
PC72		
	Preparation, purification and chromatographic fractionation of hydrophobins from biomass of fungus <i>Aspergillus niger</i>	139
	<i>Nikita A. Khrapatov, Ekaterina V. Kochurova, Boris A. Kolesnikov, Mark M. Shamtsyan</i>	
PC73		
	Análise cromatográfica de iogurte funcionalizado com extrato etanólico de <i>Agaricus bisporus</i>	140
	<i>Cristhian R.L. Francisco, Isabel P.M. Fernandes, João C.M. Barreira, Lillian Barros, Odinei Hess Gonçalves, Maria Filomena Barreiro, Isabel C.F.R. Ferreira</i>	
PC74		
	Cromatografia em Camada Fina e Cromatografia em Coluna utilizadas na síntese química de derivados do ergosterol	141
	<i>Cristhian R.L. Francisco, Sandrina A. Heleno, Ricardo C. Calhelha, Odinei Hess Gonçalves, Maria Filomena Barreiro, Pablo García, Isabel C.F.R. Ferreira</i>	
PC75		
	Cosmeceutical properties of phenolic acids and use of microencapsulation to ensure controlled release	142
	<i>Oludemi Taofiq, Sandrina A. Heleno, Ricardo C. Calhelha, Isabel P. Fernandes, Maria José Alves, Ana M. González-Paramás, Lillian Barros, M. Filomena Barreiro, Isabel C.F.R. Ferreira</i>	

PC76		
	A QuEChERS method followed by liquid chromatography for the quantification of three organic contaminants in soil samples	143
	<i>Paula Guedes, Vanda Lopes, Nazaré Couto, Eduardo P. Mateus, Alexandra B. Ribeiro</i>	
PC77		
	Estudo e identificação de compostos bioativos na casca de pinheiro (<i>Pinus pinaster</i> Aiton subsp. <i>Atlantica</i>)	144
	<i>Preciosa Pires, Catarina Vieito, Élia Fernandes, Begoña Besada, Manuela Vaz Velho</i>	
PC78		
	Optimization of key parameters influencing the chromatographic analysis of phenolic compounds in beverages after isolation by u-SPEed	145
	<i>Priscilla Porto-Figueira, José A. Figueira, Jorge Pereira, José S. Câmara</i>	
PC79		
	Fingerprint of phenolic compounds in <i>Osyris quadripartite</i> Salzm. ex Decne. from Algeria	146
	<i>Wahiba Rached, Ricardo C. Calhelha, Ângela Fernandes, Ana Maria Carvalho, Malika Bennaceur, Abderrazak Marouf, Lillian Barros, Celestino Santos-Buelga, Isabel C.F.R. Ferreira</i>	
PC80		
	Determination of residual amounts of acetamiprid in crops by high-performance liquid chromatography	147
	<i>Roman A. Illarionov, Elisey Yu. Alekseev, Alyona I. Peskova, Maria O. Petrova</i>	
PC81		
	Miniaturized Techniques for the determination of Antidepressants in plasma	148
	<i>Rosa A. Lorenzo, Ana M. Ares, María Regenjo, Purificación Fernández, Antonia M. Carro</i>	
PC82		
	An Improvement of Lab Efficiency in Liquid Chromatography	149
	<i>Rúben Chaves, Andreia Costa, Sofia Silva, Joana Durão</i>	
PC83		
	Aplicação da metodologia SALLE para a determinação de amins biogénicas em produtos alimentares de origem animal	150
	<i>Karen C. Almeida, Pedro F. Brandão, Rui M. Ramos, Arnaldo A. Cardoso, José A. Rodrigues</i>	
PC84		
	High-performance liquid chromatography in routine environmental analysis: in-house validation of analytical methods	151
	<i>Rui S. Ribeiro, Adrián M.T. Silva, Joaquim L. Faria, Helder T. Gomes</i>	
PC85		
	Identification and quantification of phenolic compounds present in three different cultivars from <i>Sambucus nigra</i> L.	152
	<i>Sandrine S. Ferreira, Pedro Silva, Amélia M. Silva, Fernando M. Nunes</i>	
PC86		
	Anthocyanins profile of <i>Sambucus nigra</i> L. harvested in three different years	153
	<i>Sandrine S. Ferreira, Pedro Silva, Amélia M. Silva, Fernando M. Nunes</i>	
PC87		
	Asthma urinary metabotyping: strategies for data normalization	154
	<i>Jéssica E.P. Marques, Ana Morête, Sónia A.O. Santos, Armando Silvestre, Sílvia M. Rocha</i>	
PC88		
	Combined application of two-dimensional gas chromatography and headspace solid phase microextraction unravels changes in the volatiles of <i>Rhizobium</i> exposed to cadmium	155
	<i>Paulo Cardoso, Magda Santos, Rosa Freitas, Etelvina Figueira, Sílvia M. Rocha</i>	
PC89		
	Fatty acids as potential chemical marker to discriminate robusta coffee silverskin from different geographical origins	156
	<i>Sílvia Bessada, Rita C. Alves, M. Antónia Nunes, M. Beatriz P.P. Oliveira</i>	
PC90		
	Vitamin E profile of melon seed oils	157
	<i>Adrián Rabadán, Manuel Álvarez-Ortí, Sílvia Bessada, Rita C. Alves, José E. Pardo, M. Beatriz P.P. Oliveira</i>	

PC91		
	Comparison of <i>Ulva rigida</i> fatty acid profile in summer and winter seasons	158
	<i>Andreia Silva, Ana Sofia Queiroz, Helena Abreu, Artur M.S. Silva, Susana M. Cardoso</i>	
PC92		
	Lipophilic profile of four European macroalgae species	159
	<i>Andreia F.R.Silva, Rodrigo T. Neto, Ana Sofia Queirós, Artur M.S. Silva, Susana M. Cardoso</i>	
PC93		
	Caracterização de compostos antociânicos em flores comestíveis	160
	<i>Tânia C.S.P. Pires, Maria Inês Dias, Lillian Barros, Celestino Santos-Buelga, Isabel C.F.R. Ferreira</i>	
PC94		
	Gas chromatography: a useful tool for bakery products differentiation	161
	<i>Tânia Gonçalves Albuquerque, Joana Santos, Mafalda Alexandra Silva, M. Beatriz P.P. Oliveira, Helena S. Costa</i>	
PC95		
	Profile of Bound Phenolic Compounds from Olive Pomace	162
	<i>Tânia I.B. Ribeiro, Ana L. Oliveira, João Nunes, António A. Vicente, Manuela Pintado</i>	
PC96		
	Application of GC-MS to characterize the volatile composition of fruit distillates made with honey	164
	<i>Teresa Delgado, Ilda Caldeira, Ofélia Anjos</i>	
PC97		
	HPLC/DAD fingerprint of standardized extracts from <i>Ligustrum lucidum</i> Aiton berries, for bioactive activity screening	165
	<i>Teresa Delgado, Vanessa B. Paula, Maria Graça Campos, Nelson Farinha, André Caeiro, Leticia M. Estevinho, Ofélia Anjos</i>	
PC98		
	Similarity analysis between four Portuguese propolis samples using UHPLC-DAD-ESI-MSn chromatographic profiles of phenolic compounds	166
	<i>Vanessa B. Paula, Susana M. Cardoso, Luís G. Dias, Leticia M. Estevinho</i>	
PC99		
	Determination of organophosphorus pesticides in strawberries using modified QuEChERS method with magnetic nanoparticles and GC-FPD	167
	<i>Virgínia Cruz Fernandes, José Maria Oliveira, João Grosso Pacheco, Maria Freitas, Valentina F. Domingues, Cristina Delerue-Matos</i>	
PC100		
	Occurrence of Organophosphorus pesticide in sediments from Portuguese rivers	168
	<i>Carolina Rodrigues, Virgínia Cruz Fernandes, Cristina Delerue-Matos, Natividade Vieira</i>	
PC101		
	Total fat content and fatty acid profile of pseudocereals	169
	<i>Roberts R. Slaukstins, Santa Jakobsone, Vitor M. R. Martins, Clementina M.M. Santos</i>	
PC102		
	Enantiomeric separation and chiral recognition mechanisms of different macrocyclic glycopeptide-based chiral stationary phases	170
	<i>Ye Zaw Phyo, Andreia Palmeira, Sara Cravo, Maria Elizabeth Tiritan, Anake Kijjoa, Madalena M.M. Pinto, Carla Fernandes</i>	
PC103		
	Pyrolytic appraisal of the effect of agricultural practices on soil organic matter quality	171
	<i>Zulimar Hernández, Gonzalo Almendros, Tomas de Figueiredo</i>	
PC104		
	Gas chromatographic signature of soil lipids associated to land-use changes	172
	<i>Zulimar Hernández, Gonzalo Almendros, Jesús Sanz, Tomás de Figueiredo</i>	
PC105		
	Influência do método de secagem no perfil fenólico e propriedades bioativas de <i>Galium aparine</i> L.	173
	<i>Sylwia Senio, Carla Pereira, Lillian Barros e Isabel C.F.R. Ferreira</i>	
PC106		
	A novel natural colouring strategy for ice cream: effects on the profiles of individual sugars	174
	<i>Custódio Lobo Roriz, João C.M. Barreira, Patricia Morales, Lillian Barros, Isabel C.F.R. Ferreira</i>	

PC107	Development of a MHS-SPME-GC/MS method for analysis of volatile composition of Tawny Port wine	175
	<i>Juliana Milheiro, João Siopa, Sandrine S. Ferreira, Alice Vilela, Irene Fraga, António Inês, Carlos Matos, João Coutinho, Fernanda Cosme, Fernando M. Nunes</i>	
PC108	Translocation study of pesticides applied by endotherapy in coconut palm (<i>Cocos nucifera</i> Linn.) and determination of residues by UHPLC-MS/MS	176
	<i>Jordana A. Ferreira, Joana M.S. Ferreira, Viviane Talamini, Paulo M.P. Lins, Carla B.G. Bottoli</i>	
PC109	The impact of extrusion on the organics acids composition of gluten-free snacks based on rice, bean and carob flour blends.	177
	<i>C. Arribas, E. Pereira, L. Barros, E. Guillamón, I.C.F.R. Ferreira, M.M. Pedrosa</i>	
PC110	Tocopherols content in gluten-free extruded composite flours of rice and different legumes	178
	<i>C. Arribas, E. Pereira, L. Barros, E. Guillamón, I.C.F.R. Ferreira, M.M. Pedrosa</i>	
PC111	Phytochemical characterization of <i>Opuntia macrorhiza</i> (Engelm.) and <i>Opuntia microdasys</i> (Lehm.) cladodes	179
	<i>Hassiba Chahdoura, João C.M. Barreira, Lillian Barros, Celestino Santos-Buelga, Isabel C.F.R. Ferreira, Lotfi Achour</i>	
PC112	Chemical characterization of <i>Opuntia</i> sp. by-products	180
	<i>Hassiba Chahdoura, João C.M. Barreira, Lillian Barros, Celestino Santos-Buelga, Isabel C.F.R. Ferreira, Lotfi Achour</i>	
PC113	Extractability of rosmarinic acid by using three different aqueous based extraction procedures	181
	<i>Márcio Caroch, Lillian Barros, Isabel C.F.R. Ferreira</i>	
PC114	Rosmarinic acid contents in putative natural food preservatives	182
	<i>Márcio Caroch, Lillian Barros, Isabel C.F.R. Ferreira</i>	
PC115	Medicinal properties of biologically active substances derived from basidiomycetes	183
	<i>Sergei Sorokin, Ekaterina Antontceva, Alexander Ponyaev, Mark Shamtshyan</i>	
PC116	Holistic strategy using HPLC-QqQ-MS and GC-qMS towards the screening of bioactive compounds from <i>Salicornia ramosissima</i>	184
	<i>Carla Martins, Ângelo C. Salvador, Cátia Martins, Sónia A.O. Santos, Carla Vilela, Neda Mimica-Dukic, Armando J.D. Silvestre, Sílvia M. Rocha</i>	
PC117	Análise cromatográfica de compostos hidrofílicos em acessos de tomate (<i>Solanum lycopersicum</i> L.) conservados ex-situ	185
	<i>Valter Martins, José Pinela, Lillian Barros, Ana Maria Carvalho, Filomena Rocha, Ana Maria Barata, Isabel C.F.R. Ferreira</i>	
PC118	Caracterização do perfil em tocoferóis e ácidos gordos de uma coleção de germoplasma de tomate (<i>Solanum lycopersicum</i> L.)	186
	<i>Valter Martins, José Pinela, Lillian Barros, Ana Maria Carvalho, Filomena Rocha, Ana Maria Barata, Isabel C.F.R. Ferreira</i>	
PC119	Epicarpo de <i>Diospyros kaki</i> L. como uma fonte de vitaminas: análise cromatográfica de ácido ascórbico e de tocoferóis	187
	<i>Nilton P. de Souza, Ângela Fernandes, Natália Conceição, Lillian Barros, Isabel C.F.R. Ferreira</i>	
PC120	Propriedades nutricionais de croissants aditivados com sumo de sabugueiro	188
	<i>Ricardo F.R. da Silva, João C.M. Barreira, Lillian Barros, Sandrina A. Heleno, Isabel C.F.R. Ferreira</i>	
PC121	Utilização de subprodutos de bagas de sabugueiro como fonte de corantes naturais	189
	<i>Andreia C.R. Sousa, Sandrina A. Heleno, Lillian Barros, João C.M. Barreira, Isabel C.F.R. Ferreira</i>	

PC122

Perfil cromatográfico de ácidos orgânicos e tocoferóis de *Umbilicus rupestris* (Salisb.) e *Raphanus raphanistrum* L. 190

Júlia Harumi Iyda, Ângela Fernandes, Samara Cristina da Silva, Flávio Dias Ferreira, Lillian Barros, Joana S. Amaral, Isabel C.F.R. Ferreira

PC123

Perfil cromatográfico em tocoferóis e ácidos orgânicos da microalga *Spirulina platensis* 191

Samara Cristina da Silva, Ângela Fernandes, Júlia Harumi Iyda, Lillian Barros, Eliane Colla, Maria Filomena Barreiro, Isabel C.F.R. Ferreira

PC124

Lipophilic and phenolic compounds from *Eucalyptus grandis* wood cultivated in Portugal, Brazil and South Africa 192

Sônia A.O. Santos, Carla Vilela, Rui M.A. Domingues, Catia S.D. Oliveira, Juan J. Villaverde, Carmen S.R. Freire, Carlos P. Neto, Armando J.D. Silvestre

PC125

Detailed composition and biological properties of lipophilic fraction of *Bifurcaria bifurcata* macroalga 193

Sônia A.O. Santos, Stephanie S. Trindade, Catia S.D. Oliveira, Paula Parreira, Daniela Rosa, Maria F. Duarte, Isabel Ferreira, Maria T. Cruz, Andreia M. Rego, Maria H. Abreu, Silvia M. Rocha, Armando J.D. Silvestre

PC126

Tocopherols content of different wheat varieties: differences between refined and whole-wheat flour 194

Maria Ciudad-Mulero, Ângela Fernandes, Lillian Barros, Isabel C.F.R. Ferreira, M. Cruz Matallana, Patricia Morales, Virginia Fernández-Ruiz, José M. Carrillo

PC127

Analysis of tocopherols and phenolic compounds in extruded lentil flour formulations for development of snack-type functional foods 195

Maria Ciudad-Mulero, Ângela Fernandes, Lillian Barros, Isabel C.F.R. Ferreira, José De J. Berrios, Montaña Cámara, Patricia Morales, Virginia Fernández-Ruiz

PC128

Design of an one-step platform purification of STEAP1 using octyl-sepharose 196

Diogo P. Monteiro, Diana R. Duarte, Fátima M. Santos, Cláudio J. Maia, Luís A. Passarinha

PC129

Valorising leaves of *Garcinia brasiliensi* Mart as sources of bioactive compounds 197

Stephanie Jedoz, Ângela Fernandes, Renato André Zan, Ricardo C. Calhelha, Roberto Carlos Campos Martins, Lillian Barros, Isabel C.F.R. Ferreira

PC130

Evaluation of fatty acids of salmon from different origins: comparison of extraction and derivatization methodologies 198

Liliana Grazina, Maria A. Nunes, Isabel Mafra, M. Beatriz P.P. Oliveira, Joana S. Amaral

PC131

A new multiple reaction monitoring method for the assessment of catechol-O-methyltransferase Val/Met108 199

Ana M.G. Gonçalves, Fátima Santos, Joana Diogo, Eugénia Gallardo, Cláudio J. Maia, Luís A. Passarinha

PC-30

Determinação de antocianinas no epicarpo de frutos de *Prunus spinosa* L.

Maria Gabriela Leichtweis^{a,b,*}, Carla Pereira^a, **Emanueli Backes^a**, Ana Maria Carvalho^a, Ilton J. Baraldi^b, Lillian Barros^a, Isabel C.F.R. Ferreira^a

^aCentro de Investigação de Montanha (CIMO), Instituto Politécnico de Bragança, Campus de Santa Apolónia, 5300-253 Bragança, Portugal.

^bDepartamento Acadêmico de Alimentos (DAALM), Universidade Tecnológica Federal do Paraná, Campus Medianeira, 85884-000, Paraná, Brasil.

*mg.leichtweis@hotmail.com

A fim de otimizar processos e/ou desenvolver novos produtos, a indústria alimentar tem utilizado diversas substâncias, denominadas aditivos alimentares [1]. Estes aditivos são adicionados aos alimentos de forma a terem uma contribuição tecnológica e/ou fisiológica, no entanto, existe também uma preocupação por parte dos consumidores relativa aos efeitos adversos que alguns dos aditivos artificiais podem ter. Os corantes são uma das classes de aditivos, amplamente utilizados para conferir coloração aos alimentos. Atualmente, existe uma grande tendência de substituição de corantes artificiais por alternativas naturais. As antocianinas são um grupo de pigmentos que apresentam uma coloração vermelha, azul e/ou violeta, estando presentes em muitas flores e frutos, podendo ser consideradas alternativas aos corantes artificiais [2]. Os frutos de *Prunus spinosa* L. (abrunho) apresentam um epicarpo de coloração azul intensa evidenciando ser uma fonte promissora de corantes naturais. Neste trabalho, efetuou-se a caracterização do epicarpo do abrunho em termos de antocianinas, determinadas por cromatografia líquida de alta eficiência acoplada a um detetor de díodos e a um espectrómetro de massa (HPLC-DAD-ESI/MS). A identificação dos compostos foi realizada utilizando padrões, quando disponíveis, comparando os seus tempos de retenção, espectros UV-Vis e espectros de massa. Na ausência de padrões, a identificação foi efetuada pelo perfil de fragmentação e por comparação com a informação disponível na literatura. A quantificação foi realizada a partir das áreas dos picos registados ao comprimento de onda de 520 nm, por comparação com as curvas de calibração dos padrões. O epicarpo do abrunho apresentou dois compostos antocianínicos, cianidina-3-rutinósido ([M-H]⁻ a *m/z* 595) e peonidina-3-rutinósido ([M-H]⁻ a *m/z* 609), estando a primeira molécula em maior concentração. Esta matriz poderá ser considerada uma fonte de pigmentos na gama de cores vermelho-roxo, tendo aplicabilidade tanto na indústria alimentar como farmacêutica.

Acknowledgements:

FCT e FEDER sob o Programa PT2020 pelo apoio financeiro ao CIMO (UID/AGR/00690/2013), bolsa de C. Pereira (SFRH/BPD/122650/2016) e contrato de L. Barros. Interreg Espanha-Portugal pelo financiamento ao projeto 0377_Iberphenol_6_E. Fundos FEEL através do Programa Operacional Regional Norte 2020, no âmbito do Projeto NORTE-01-0145-FEDER-023289: DeCodE e project Mobilizador ValorNatural@.

References:

- [1] M. Carcho, M.F. Barreiro, P. Morales, I.C.F.R. Ferreira. *Comprehensive Reviews in Food Science and Food Safety* 13 (4), 377-399.
- [2] N. Martins, C.L. Roniz, P. Morales, L. Barros, I.C.F.R. Ferreira. *Trends in Food Science & Technology*, 2016, 52, 1-15.